Քիմիական գիտություններ

XVI, № 1, 1963

Химические начки

#### К. А. Костанян

# Об электропроводности расплавленных щелочно-боратных и щелочно-силикатных стекол

В настоящее время имеется значительное количество работ по исследованию электропроводности расплавленных щелочно-боратных и щелочно-силикатных стекол. Однако эти работы нуждаются в специальном обсуждении для выявления особенностей движения щелочных ионов в борокислородной и в кремнекислородной средах в свете существующих взглядов на механизм электропроводности стекла.

Можно принять, что электропроводность расплавленных щелочноборатных и щелочно-силикатных стекол для небольшого интервала температур подчиняется экспоненциальному соотношению:

$$\chi = \exp\left(A - \frac{B}{T}\right) \tag{1}$$

где Т — абсолютная температура, а A и В — постоянные [1—3]. Электропроводность твердых стекол также подчиняется формуле (1), но с другими значениями постоянных A и B.

Согласно теории электропроводности стекол, разработанной Мюллером, постоянная A для твердого состояния стекла связана с концентрацией щелочного иона [M] соотношением  $P_9 = 0.434A - \lg [M]$ , а B связана с величиною энергии диссоциации  $\Psi_{\Phi}$  уравнением  $\Psi_{\Phi} = 2BR$ , где R-газовая постоянная [5]. Теоретическое значение  $P_9-$ фактора подвижности—равно  $3.7\pm1$ , и его небольшое изменение при переходе стекла из твердого состояния в расплавленное, по Мюллеру, свидетельствует о неизменности механизма электропроводности стекла в его твердом и расплавленном состояниях. Величина  $\Psi_{\Phi}$  для расплавленных стекол составляет от 22 до 26 ккал/моль и свидетельствует о низкой степени диссоциации щелочных ионов в стекле [1, 5].

В таблицах 1 и 2 приведены значения  $P_{\ni}$  и  $\Psi_{\oplus}$  для натрий-силикатных и натрий-боратных стекол при  $1000^{\circ}$ С, рассчитанные на основании данных наших работ [2—3]\*. Данные по плотности этих стекол взяты из работ Шартсиса и сотрудников [4].

Для натрий-силикатных стекол (Na<sub>2</sub>O > 27 вес.  $^{0}$ /<sub>0</sub>) в твердом состоянии значения  $P_{9}$ , по данным Мюллера, лежат в пределах 3,0—3,4, а для натрий-боратных стекол  $P_{9} = 3.4 \pm 0.3$  [5].

<sup>\*</sup> Значения  $P_{\mathfrak{Z}}$  и  $\Psi_{\mathfrak{D}}$  для этих же стекол, приведенные в нашей работе [3], неверны.

Таблица I
Значения РЭ и ФФ для натрий-силикатных стекол (1000°)

<b>№</b> стекол	Na <sub>s</sub> O sec. %	Уд. вес	[M]×100 моль/мл	Aio	Рэ	₩ <sub>Ф</sub> ккал/моль
1	40,26	2,25	2,97	1,085	2,612	13,0
2	32,80	2,24	2,48	1,07	2,676	13,5
3	30,49	2,23	2,24	1,12	2,77	16,25
4	26,50	2,22	1,94	1,26	2,96	20,05
5	20,80	2,21	1,53	0,935	2,74	18,0

Таблица 2 Значения  $\mathbb{P}_3$  и  $\Psi_{\Phi}$  для натрий-боратных стекол (1000°)

<b>№</b> стекол	Na <sub>2</sub> O sec. %/0	Уд. вес г/см <sup>3</sup>	[M]×100 моль/мл	A <sub>10</sub>	Рэ	. Ψ <sub>Ф</sub> ккал/моль
1 — Na 1a— Na 2 — Na 2a— Na 4 — Na 5 — Na	30,26 27,61 25,20 22,43 19,97 15,70	1,994 1,990 1,984 1,975 1,956 1,893	1,95 1,77 1,61 1,43 1,26 0,96	2,38 2,38 2,38 2,35 2,35 2,36 2,375	4,09 4,13 4,17 4,20 4,25 4,39	29,6 31,7 33,8 34,0 35,9 38,4

Данные таблиц 1 и 2 показывают, что по своему значению факторы подвижности  $P_3$  для расплавленных и твердых стекол значительно отличаются, причем для натрий-силикатных стекол  $P_{3\text{распа.}}\approx 2,6$  вместо 3,0-3,4 для твердого состояния стекла [5], а для натрий-боратных стекол  $P_{3\text{распа.}}\approx 4,2$  вместо  $P_{3\text{тв.}}=3,4\pm0,3$  [5]. Сравнение же энергетических величин  $\Psi_{\Phi}$  для натрий-силикатных и натрий-боратных стекол в твердом и расплавленном состояниях показывает, что  $\Psi_{\Phi}$  для расплавленных натрий-силикатных стекол значительно ниже  $\Psi_{\Phi}$  для твердого состояния и, с другой стороны, для расплавленного состояния  $\Psi_{\Phi}$  бор.  $\gg \Psi_{\Phi}$  сна. .

Последнее неравенство может быть обусловлено сравнительно более высокой степенью диссоциации ионов натрия в расплавленном натрий-силикатном стекле. Известно, что в твердом состоянии, при одинаковой объемной концентрации ионов натрия, электропроводность натрий-силикатных стекол на 1—1,5 порядка выше, чем электропроводность натрий-боратных стекол. Однако сравнение электропроводности натрий-силикатных и натрий-боратных стекол в расплавленном состоянии показывает обратную картину—при одинаковой объемной концентрации иона натрия электропроводность натрий-боратных стекол выше, чем натрий-силикатных, что видно из рисунка 1.

Отмеченная высокая проводимость расплавленных натрий-боратных стекол по сравнению с натрий-силикатными не является случайной или характерной только для натриевых стекол. Сравнение проводимости щелочных силикатов и щелочных боратов в области температур  $900-1200^\circ$  показывает, более высокую проводимость боратных стекол. На рисунке 2 приведена зависимость удельного сопротивления щелочных силикатов и боратов от концентрации щелочного иона при 1150°. Для построения кривых рисунка 2 были использованы данные работ [1—4], причем многие значения электропроводностей были найдены экстраполяцией. Как видно из рисунка 2, проводимость щелочных боратов при одинаковой объемной концентрации щелочного иона выше, чем проводимость щелочных силикатов.

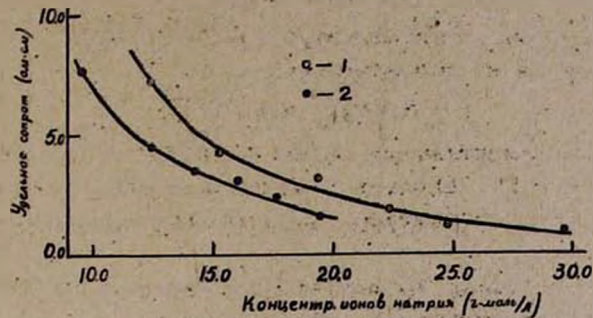


Рис. 1. Зависимость удельного сопротивления натрий-силикатных (1) и натрий-боратных (2) стекол от концентрации щелочного иона при 1000°.

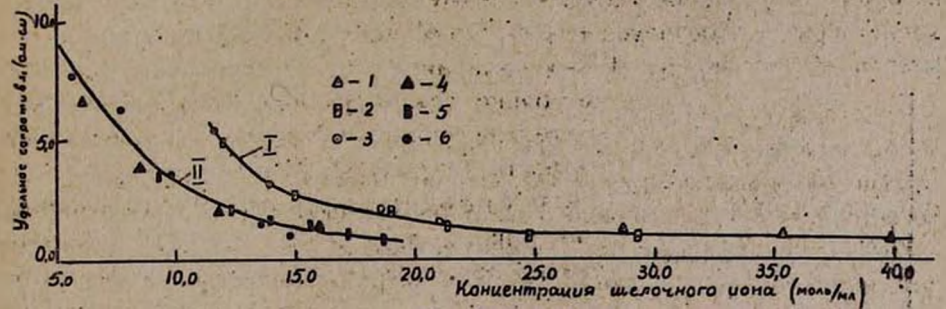


Рис. 2. Зависимость удельного сопротивления щелочно-силикатных (I) и щелочноборатных (II) стекол от концентрации щелочного иона при 1150°. .1—литиевые силикаты, 2—натриевые силикаты, 3—калиевые силикаты, 4—литиевые бораты, 5—натриевые бораты, 6—калиевые бораты.

Вместе с тем, расчет энергетических величин  $P_{9}$  и  $\Psi_{\Phi}$  показывает, что для щелочно-силикатных стекол  $P_{9\text{тв.}} > P_{9\text{распа.}}$ , а для щелочно-боратных стекол, наоборот,  $P_{9\text{тв.}} < P_{9\text{распа.}}$ .

Вышеотмеченное противоречие между энергетическими величинами  $\Psi_{\Phi}$  и проводимостью щелочных боратов и силикатов, а также аномальные величины факторов подвижности для расплавленных боратов обусловлены наличием энтропийного члена, входящего в постоянное А уравнения (1). О возникновении энтропийного множителя при переходе стекла в расплавленное состояние указывалось ранее Мюлером [6]; однако впоследствии при обсуждении значений энергетических величин  $P_{\ni}$  и  $\Psi_{\Phi}$  для расплавленных стекол [5] он не учитывал возникновения энтропийного члена.

Учет энтропийного фактора при электропроводности расплавленных стекол производится в работах Бокриса и сотрудников [1].

которые исходили из теории переходного состояния [7]. Теория переходного состояния констатирует, что энергия активации определяется не изменением теплосодержания (теплота активации) ΔH\*, а изменением свободной энергии активации ΔZ\*, связана с изменением теплосодержания известным уравнением:

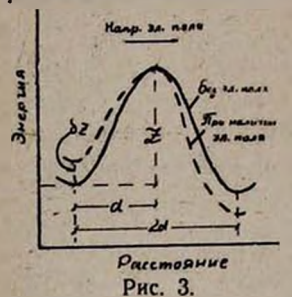
$$\Delta Z^* = \Delta H^* - T\Delta S^* \tag{2}$$

T — абсолютная температура, а  $\Delta S^*$  — прирост энтропии. ΔH° легко определяется из соотношения:

$$\chi = A_x \exp\left(-\Delta H^*/RT\right) \tag{3}$$

исходя из экспериментальных данных. В твердом состоянии стекла  $\Delta S^* = 0$  и  $\Delta Z^* = \Delta H^*$ . Однако в расплавленных стеклах в силу локальных изменений структуры происходит изменение энтропии, и  $\Delta S^* \neq 0$ .

Ниже дается вывод уравнения эквивалентной электропроводности для расплавленных стекол на базе теории переходного состояния, который приводят в своей работе Бокрис и сотрудники [1]. Движение катиона в расплавленном стекле можно представить как его переход из одного положения равновесия в другое, причем этот переход происходит через особое неустойчивое состояние катиона, называемое переходным состоянием. В термодинамическом отношении переходное



состояние можно рассматривать как обычное состояние частицы (катиона) [7, 8]. Удельная скорость (константа скорости) перехода частицы из положения равновесия в переходное состояние, согласно основному уравнению теории переходного состояния, будет:

$$K^* = q \cdot \frac{kT}{h} \exp\left(-\frac{\Delta Z^*}{RT}\right) \tag{4}$$

q — трансмиссионный коэффициент, где нашем случае может быть принят равным единице, а  $\Delta Z^*$  свободная энергия активации. Изменение последней на рисунке 3 при переходе катиона из одного положения равновесия в другое на расстоянии 2d обозначено сплошной кривой. Предположим теперь, что наложено электрическое поле, которое в данный момент имеет градиент потенциала, способствующий движению иона слева направо. При этом "эффективным градиентом потенциала для данного катиона будет Х, благодаря чему свободная энергия активации иона уменьшится на величину  $\delta Z = \chi zed \cos \Psi$ , где  $\Psi - y$ гол между направлением движения иона и направлением поля, а ze — заряд иона на z-ион. Таким образом, вместо уравнения (4) будем иметь:

$$K^* = \frac{kT}{h} \exp\left\{-(\Delta Z^* - \delta Z)/RT\right\}$$
 (5)

som appraise non

или, подставляя значение 82.

$$K^* = \frac{kT}{h} \exp\left(-\Delta Z^*/RT\right) \exp\left(a\cos\Psi\right) \tag{6}$$

Злесь a = xdzF/RT.

При перемещении в сторону поля ион проходит расстояние  $2d\cos\Psi$ , и так как  $K^*$  является удельной скоростью, то скорость иона  $V_1$  будет:

$$V_1 = 2\cos\Psi \frac{kT}{h}\exp(-\Delta Z^*/RT)\exp(a\cos\Psi) \quad cmice\kappa$$
 (7)

Уравнение (7) дает скорость движения ионов в направлении поля, в для получения суммарной скорости  $\overline{V}_{i}$  необходимо исходить из следующего уравнения:

$$\overline{V}_{1} = 2d \frac{kT}{h} \exp(-\Delta Z^{*}/RT) \frac{\int_{0}^{\pi} \exp(\alpha \cos \Psi) \cdot \cos \Psi \cdot \sin \Psi \cdot d\Psi}{\int_{0}^{\pi} \sin \Psi \cdot d\Psi}$$
(8)

Решение иптеграла уравнения (8) дает:

$$\overline{V}_{l} = 2d \frac{kT}{h} \exp \left(-\Delta Z^{*}/RT\right) \frac{1}{a^{2}} \left(acha - sha\right)^{2}$$
 (9)

так как а в нашем случае может принимать небольшие значения, то, разложив гиперболический косинус и синус в ряд, можно ограничиться первыми членами:

$$\overline{V}_{I} = 2d \frac{kT}{h} \exp(-\Delta Z^{*}/RT) \frac{\alpha}{3}$$
 (10)

Эквивалентная электропроводность  $\Lambda = \overline{V}_i \cdot F$  или

$$\Lambda = \frac{2}{3} dFa \frac{kT}{h} \exp(-\Delta Z^*/RT)$$
 (11)

Подставляя значение а в уравнение (11), мы получим:

$$\Lambda = \frac{2}{3} X \frac{zF^2 d^3k}{Rh} \exp\left(-\Delta Z^*/RT\right)$$
 (12)

Принимая, что X — градиент потенциала в жидкости — эквивалентен  $\frac{(D+2)}{3}$  при градиенте потенциалов 1v/cм и что диэлектрическая постоянная D для силикатных расплавов равна 5 [1, 7], для X мы будем иметь значение 7/3 v/cм. Выражая d в cм. F в кулонах, R в кал/моль. C, мы будем иметь:

$$\Lambda = 3.62 \times 10^{19} \text{ zd}^2 \exp(-\Delta Z^*/RT)$$

нли

$$\Lambda = 3.62 \times 10^{19} \,\mathrm{zd}^2 \exp\left(-\Delta H^*/RT\right) \exp\left(\Delta S^*/R\right)$$
 (14)

(13)

Здесь z — валентность катиона, d — половина расстояния между центрами соседних тетраэдров SiO<sub>4</sub>, равная 1,5A [1].

Таблица 3 Значения  $\Delta H^*$ ,  $\Delta S^*$  и  $\Delta Z^*$  для натрий-силикатных стекол

Значения  $\Delta H^*$ ,  $\Delta S^*$  и  $\Delta Z^*$  для натрий-силикатных стекол при 1000 и 1150°

№ стекол	OM-1-CM-1	л ом <sup>-1</sup> -см <sup>2</sup>	ΔН* кал/моль	ΔS* кал/моль °C	∆Z* кал/моль
- SALES	TO THE	THE PERSON	1000 C	The state of the s	
1 2 3 4 5 6	0,952 0,834 0,540 0,318 0,235	32,1 33,6 24,1 16,4 15,35 11,1	6500 6770 8140 10250 9030 9950	-5,86 -5,65 -5,23 -4,34 -5,42 -5,35	14000 14000 14800 15800 15950 16800
1 2 3 4 5 6	1,25 1,05 0,77 0,50 0,364 0,20	42,8 44,5 35,15 26,5 24,7 16,65	1150°C 6500 6700 8100 10000 9000 9950	-6,00 -5,9 -5,25 -4,6 -5,4 -5,5	15000 14900 15600 16500 16600 17750

В таблицах 3 и 4 представлены рассчитанные с помощью формул (3), (14) и (2) значения  $\Delta H^*$ ,  $\Delta S^*$  и  $\Delta Z^*$  для натрий-силикатных и натрий-боратных стекол при  $1000^\circ$  и  $1150^\circ$ . При расчете  $\Delta Z^*$  для боратных стекол значение d в формуле (14), так же как и для силикатных стекол, принято 1,5Å. Коэффициент  $3,62 \times 10^{10}$  оставлен без изменения, т. е. значение диэлектрической постоянной D для боратных расплавов также принято равным 5. Эти допущения на величины  $\Delta S^*$  и  $\Delta Z^*$  могут влиять незначительно, в особенности на знак  $\Delta S^*$ .

Полученные значения свободной энергии активации  $\Delta Z^*$  (табл. 3 и 4) для натрий-силикатных и натрий-боратных стекол дают возможность объяснить причину более высокой проводимости натрий-боратных стекол по сравнению с натрий-силикатными. Из данных  $\Delta Z^*$ , приведенных в таблицах 3 и 4, видно, что для стекол с одинаковой концентрацией ионов натрия (сравним, например, стекло 4 из натрий-силикатных стекол со стеклом 1-Na из натрий-боратных стекол) свободная энергия активации  $\Delta Z^*$  у боратных стекол меньше, чем у силикатных. Это говорит о том, что электропроводность расплавленных стекол определяется изменением свободной энергии активации  $\Delta Z^*$ , а не энергетической величиной  $\Psi_{\Phi}$ , заключающей в себе теплоту активации\*  $\Psi_{\Phi} = 2\Delta H^*$ . Совершенно так же в химической кинетике скорость химической реакции определяется изменением свободной энергии активации, а не теплотой активации [7, 8].

<sup>\*</sup> Теплоту активации ДН\* часто называют просто энергией активации...

Таблица 4
Значения АН\*, ΔS\* и ΔZ\* для натрий-боратных стекол
при 1000 и 1150°

<b>№</b>	om-1 2 -cm-1	OM -1 - CM2	∆Н* . кал/моль	∆S* кал/моль С	∆Z* кал/моль
	1 1 1 3	- T	1000 C	34-	
1 —Na 1a—Na 2 —Na 2a—Na 4 —Na 5 —Na	0,625 0,417 0,323 0,286 0,222 0,130	32,1 23,5 20,1 20,0 17,6 13,5	· 14480 15800 16500 16900 17900 19200	0,33 0,74 0,97 1,30 1,80 2,30	14100 14900 15300 15300 16500 16300
			1150°C	15 150	5. 35.
1 —Na 1a—Na 2 —Na 2a—Na 4 —Na 5 —Na	1,30 0,92 0,72 0,58 0,45 0,22	69,4 53,7 46,0 41,1 35,9 30,2	14480 15800 16500 16900- 17900 19200	0.8 1.0 1.4 1.3 1.7 2.2	13700 14400 14800 15200 15600 16000

Более низкие значения  $\Delta Z^*$  у натрий-боратных стекол по сравнению с натрий-силикатными являются следствием положительных значений  $\Delta S^*$  у натрий-боратных стекол и отрицательных—у натрий-силикатных (см. табл. 3 и 4). Согласно уравнению (2), при положительных значениях.  $\Delta S^*$  свободная энергия активации  $\Delta Z^* < \Delta H^*$ , а при отрицательных значениях  $\Delta S^*$ , наоборот,  $\Delta Z^* > \Delta H^*$ .

Аналогичные примеры можно привести из химической кинетики, когда реакции с довольно большим значением энергии активации протекают со значительной скоростью (например, реакция денатурирования протеинов) благодаря тому, что процесс сопровождается большим увеличением энтропии, приводящим в конечном счете к снижению свободной энергии активации.

Следует отметить, что увеличение энтропии в процессе проводимости характерно также и для других щелочно-боратных стекол. Как показали наши расчеты, в интервале температур 800—1150° для литий-боратных стекол  $\Delta S^*$  всегда положителен. Для расплавленных литий-силикатных и калий-силикатных стекол, наоборот, характерны отрицательные значения  $\Delta S^*$  как при сравнительно более низких температурах (1150—1200°), так и при более высоких температурах 1750° [1]. Именно различными значениями  $\Delta S^*$  для натрий-боратных и натрий-силикатных стекол следует объяснять высокие значения фактора подвижности  $P_3$  в расплавленном состоянии для первых и низкие значения  $P_3$  для вторых (см. табл. 1 и 2).

Отрицательные значения  $\Delta S^*$  объясняются "маловероятностью" нахождения иона в переходном состоянии  $\Delta S^* = S'' - S'$ , где S'' - тропия переходного состояния, а S' - равновесного [1]. С этой точки зрения, разные значения  $\Delta S^*$  в натрий-силикатных и натрий-боратных стеклах, приведенные в таблицах 3 и 4, по-видимому, следует объяс

нить структурными особенностями этих стекол. Полярные структурные узлы в натрий-силикатных стеклах образуются по следующей схеме [6]:

При этом разрывается цепь и возникает электростатическая связь между отрицательно заряженным кислородом и положительным ионом натрия. В борных стеклах полярные структурные узлы образуются по следующей схеме:

где бор оказывается отрицательно ионизированным и приобретает более устойчивую восьмиэлектронную конфигурацию. Положительные значения  $\Delta S^*$  для натрий-боратных стекол означают, что S'' < S', т. е. процесс электропроводности этих стекол сопровождается увеличением энтропии. Это обстоятельство, по-видимому, связано с ослаблением связи между отрицательно заряженным бором и ионом натрия из-за экранизации бора ионами кислорода. Оценка изменения энтропии в процессе проводимости в расплавленных натрий-боратных и натрий-силикатных стеклах, исходя из структурных моделей, в настоящее время не представляется возможной.

Полученные в настоящей работе различные по своему знаку значения энтропии для расплавленных щелочно-боратных и щелочно-силикатных стекол (табл. 3 и 4) указывают на структурные особенности этих расплавов, обусловленные характером стеклообразующего катиона.

### Выводы

- 1. Применение теории электропроводности стекол Мюллера к расплавленным натрий-силикатным и натрий-боратным стеклам показывает, что в первом случае фактор подвижности  $P_{\ni}$  имеет пониженные значения—1,75 $\div$ 2,6, в то время как для натрий-боратных стекол значение  $P_{\ni}$  колеблется от 4,0 до 4,4.
- 2. Сравнение энергетических величин  $\Psi_{\Phi}$  для исследованных стекол показывает, что при одинаковой объемной концентрации щелочного иона  $\Psi_{\Phi}$  натрий-силикатных стекол меньше, чем  $\Psi_{\Phi}$  натрий-боратных стекол, в то время как при тех же условиях электропроводность натрий-боратных стекол меньше электропроводности натрий-силикатных стекол. По сравнению со щелочными силикатами щелоч-

ные бораты в расплавленном состоянии вообще имеют повышенную электропроводность.

- Отмеченные выше особенности величин Рэ и Фф для натрийсиликатных и натрий-боратных стекол обусловлены наличием энтропийного члена в уравнении экспоненты.
- 4. Учет энтропийного фактора при электропроводности расплавленных стекол, произведенный на основании теории переходного состояния, показывает, что свободная энергия активации  $\Delta Z^*$  для натрий-боратных стекол меньше, чем  $\Delta Z^*$  для натрий-силикатных (при одинаковой объемной концентрации щелочного иона). Таким образом, энергетическим фактором, обусловливающим электропроводность стекол в расплавленном состоянии, следует считать не  $\Psi_{\Phi}$ , а свободную энергию активации  $-\Delta Z^*$ .
- 5. Более низкие значения свободной энергии активации натрий-боратных стекол по сравнению с натрий-силикатными обусловлены положительными значениями  $\Delta S^*$  для них, в то время как для натрий-силикатных стекол  $\Delta S^*$  отрицательно. Положительные значения  $\Delta S^*$  характерны также и для других щелочно-боратных стекол, в интервале температур  $800-1150^\circ$ , а отрицательные—для щелочно-силикатных стекол при температурах  $1150^\circ$  и выше.
- 6. Указанное выше различие в знаках △S\* для натрий-силикатных и натрий-боратных стекол объяснено структурными особенностями основных стеклообразующих окислов—кремнезема и окиси бора.

Институт химий Совнархоза АрмССР

Поступило 7 IX 1962

#### **Կ. Ա. Կոսսանյան**

## ZULՎԱԾ ՀԻՄՆԱ-ԲՈՐԱՏԱՅԻՆ ԵՎ ՀԻՄՆԱ-ՍԻԼԻԿԱՏԱՅԻՆ ԱՊԱԿԻՆԵՐԻ ԷԼԵԿՏՐԱՀԱՂՈՐԴԱԿԱՆՈՒԹՅԱՆ ՄԱՍԻՆ

### Ufhnhnif

Հալված նատրիում-բորատային և նատրիում-ոիլիկատային ապակիների ճամար ապակիների էլիկտրահաղորդականության Մլուլյերի տեսության օգտագործումը ցույց է տալիս, որ առաջին ապակիների դեպքում շարժունակության ֆակտորը P3 որը կապված է էքսպոնենցիալ (1) բանաձևի A հաստատունի հետ հետևյալ առնչությամբ P3=0,434A—Ig[M], ունի րավականին բարձր արժեք 4,0—4,4, մինչդեռ նատրիում-սիլիկատային ապակիների համար այդ մեծության արժեքը տատանվում է 1,75-ից մինչև 2,6-ի սահանակար այդ մեծության արժեքը տատանվում է 1,75-ից մինչև 2,6-ի սահանակարում (աղլուսակ 1 և 2)։ Միևնուլն ժամանակ Ψ<sub>Φ</sub> էներգետիկ մեծությունների համադրումը երկու ապակիների համար ցույց է տալիս, որ նատրիումի իոնի միևնուլն ծավալալին կոնցենտրացիայի դեպքում նատրիում-սիլիկատային ապակիների Ψ<sub>Φ</sub>-ը փոքր է նատրիում-բորատայիններինից։ Միևնուն ժամանակ, ինչպես երևում է 1 նկարից, նատրիում-բորատային

լուլթում ջևրմային էնևրգիայի ֆլուկտուացման հետևանջով։

Ելնելով ռեակցիաների աբսոլլուտ արագությունների տեսության հիման վրա արտածված Բոկրիսի և աշխատակիցների (4) բանաձևից, ցույց է տրրված, որ ուսուննասիրվող ապակիների էլեկարահաղորդականության էներգետիկ ֆակտորը ոչ թե  $\Psi_{\Phi}$  -ն է, այլ ակտիվացման ազատ էներգիան —  $\Delta Z^*$ -ը։ Ինչպես ցույց են տալիս ակտիվացման աղատ էներգիաների հաշվունները, որոնջ կատարված են հետազոտվող ապակիների համար (աղլուսակ 3 և 4) (3), (14), և (2) բանաձևերի հիման վրա, նատրիում-բորատալին ապակիների  $\Delta Z^*$  ավելի փոջր է, ջան նատրիում-սիլիկատալիններինը։ Ալդպիսով ցույց է տրված, որ էլեկտրահաղորդականության պրոցնսի էներգետիկ ֆակտորը ոչ թե  $\Psi_{\Phi}$ -ն է, այլ  $\Delta Z^*$ -ը։ Կարծր ապակիներում, որտեղ ստրուկտուր փոփոխություններ տեղի չեն ունենում  $\Delta S^*$ =0 և  $\Delta Z^*$ = $\Lambda$ H\*:

Հետազոտվող ապակիների համար նշանակալից է ալն հանդամանքը, որ նատրիում-բորատալին ապակիների ΔS\*-ը դրական է, իսկ նատրիում-սիլիկատալիններինը՝ րացասական։ Ալդ լուրահատկուԹլունը ընորոշ է նաև հիքևարորատալին և հիքնա-սիլիկատալին ապակիների համար։

ասշետրթեր ատերեսության, եսետյեր արջիժերժեր բ որկիլաչուկ ուսեսութատարի բրանսանրում օծորմրրեն եսետյեր արջիժերժեր բ որկիլաչուկ ուսեսութանսնրոր Էրանսանրան անմանրի աստերեսությաւրը տեւքնուրծ է չիդրարար Ասետատինը բ որկիրատանիր ապակիրընկ էքերիանաչամանակարության ապարանանի

#### ЛИТЕРАТУРА

- 1. J. O'M. Bockris, J. A. Kitchener, S. Ignatowicz; J. M. Tomlinson, Trans. Faraday Soc. 48, 75 (1952).
- 2. К. А. Костанян, Изв. АН АриССР, ХН 11, 65 (1958).
- 3. К. А. Костанян, Изв. АН АрмССР, ХН 14, 409 (1961).
- 4. L. Shartsis, W. Capps, S. Spinner, Jour. Am. Ceram. Soc. 36, 35, 319 (1953).
- Р. Л. Мюллер, ФТТ 2, 1333 (1960).
- 6. P. Л. Мюллер, ЖТФ 25, 276 (1955).
- С. Глесстон, К. Лейдлер, Г. Эйринг, Теория абсолютных скоростей реакций, Москва, 1948.
- 8. М. С. Захарьевский, Кинетика химических реакций. ЛГУ, 1959.